

北見工業大学 正量 大島俊之
北大工学部 正量 有田町義雄

1. まえがき

従来、長方形断面および正方形断面の棒中を伝播する、弹性波速度に関する問題は多くの研究者によって研究されてきたが、著者らが得た最近の研究では R.D. Mindlin and E.A. Fox¹⁾, W.B. Fraser²⁾, N.J. Nigro³⁾, 田中、岩橋⁴⁾の研究が上げられる。著者らは本論文において、正方形断面の棒中を伝播する 6 つのモード(波動パターン)を実験とし、有限フーリエ法の理論から出発して長方形断面アリス⁴⁾に実用運動の実験式を用いて、構造を数式化し、二つに離散型の有限フーリエ変換および有限Fourier変換を適用することによって、固有方程式から位相速度を求め、これらを他の数値計算結果と比較するなどによって、分割数の増加による精度の変化を調べる。次に有限Fourier変換と分離変換の特徴を示すために、正方形断面内に等間隔で配置した木製補強材を長方形アリス⁴⁾の節点に集中する断面積としてモデル化するなどによって、二種の複合材料部材の棒中を伝播する位相速度を求め、これらに及ぼす補強材と木材の密度比、弹性係数比の影響について検討する。

2. 解析理論

$$\frac{\partial^2 U}{\partial x^2} + \frac{\partial^2 U}{\partial y^2} + \frac{\partial^2 U}{\partial z^2} = \rho \frac{\partial^2 U}{\partial t^2} \quad (1) \quad \text{左左} \ L \rho = \text{密度(木材)}$$

α 動的剛性又は β は三次元

$$\frac{\partial^2 V}{\partial x^2} + \frac{\partial^2 V}{\partial y^2} + \frac{\partial^2 V}{\partial z^2} = \rho \frac{\partial^2 V}{\partial t^2} \quad (2) \quad \text{弹性論に於ける応力と変位の関係}$$

$$\frac{\partial^2 W}{\partial x^2} + \frac{\partial^2 W}{\partial y^2} + \frac{\partial^2 W}{\partial z^2} = \rho \frac{\partial^2 W}{\partial t^2} \quad (3) \quad \text{諸式を代入し, Galerkin 法}\ * \quad \text{左左} \ L, \text{各接点 A, B, C, D, a, b}$$

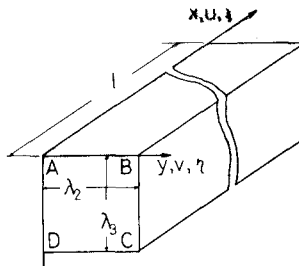


図 1. フーリエ要素

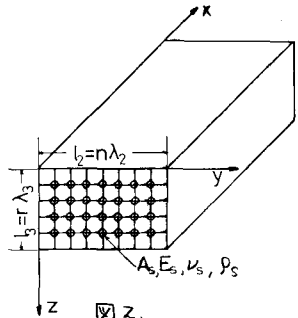


図 2.

* 3 方向の力と各種の変位の動的関係式が図 1 で得られる。

また変位は次のようになる方向の進行波を仮定し

$$U = U_0 \cos \frac{2\pi}{L}(x - ct), \quad V = V_0 \sin \frac{2\pi}{L}(x - ct),$$

$$W = W_0 \sin \frac{2\pi}{L}(x - ct) \quad \text{左左} \ L, \quad L = \text{波長}, \quad c = \text{位相速度}.$$

図 2 に対する基礎方程式は各接点における 3 方向の力のつもりを表す式である。この式は、微小差分方程式として得られ、これに有限Fourier 变換と分離変換を行なう。固有方程式を求める。左の固有値から位相速度を決定する。この場合、固有値は材料要素以外にもあらわされる α 、 β 、 γ 及び δ によって計算する。

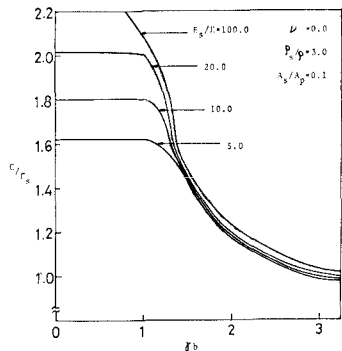
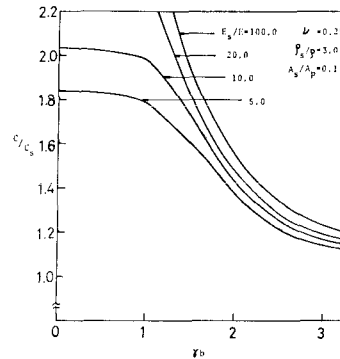
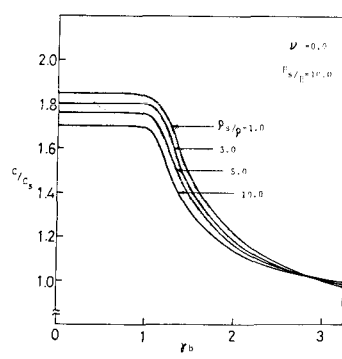
3. 数値計算結果

正方形断面棒中を伝播する弹性波の波動パターンは斜走柵の対称軸のほか対角線に沿っても対称となる。又、6 つの波動モードを得られ、それらは 1) 斜走柵動 2) 対角走柵動 3) 対角走査動

4) 対角走査動 5) 上下方向曲げ 6) 水平方向曲げに分類される。本論文では絶縁面の骨材土、斜走柵動の半周期、数値

	Fraser	Nigro	Tanaka	author
λ_0	---	---	---	---
0.1	1.6120	1.6120	1.6112	2.4015, 1.6150
0.3	1.6080	1.6080	1.6086	1.6092, 1.6125
0.5	1.5996	1.5996	1.5997	1.6005, 1.6001, 1.6013
1.0	1.5512	1.5511	1.5511	1.5517, 1.5526, 1.5531
1.2	1.5150	1.5149	1.5153	1.5163, 1.5164
1.4	1.4657	1.4656	1.4661	1.4664, 1.4664
1.6	1.4048	1.4048	1.4051	1.4052, 1.4052
1.8	1.3385	1.3383	1.3382	1.3387, 1.3387
2.0	1.2743	1.2743	1.2738	1.2740, 1.2743
2.2	1.2172	1.2172	1.2164	1.2165, 1.2200
2.4	1.1687	1.1687	1.1677	1.1677, 1.1677
2.6	1.1285	1.1285	1.1275	1.1274, 1.1360
2.8	1.0956	1.0956	1.0945	1.0944, 1.0932
3.0	1.0688	1.0689	1.0676	1.0675, 1.0766
3.2	1.0433	1.0433	1.0427	1.0427, 1.0591
3.4	1.0219	1.0216	1.0206	1.0206, 1.0378
3.6	1.0013	1.0013	1.0013	1.0013, 1.0238
3.8	1.0022	1.0022	1.0021	1.0021, 1.0124
4.0	0.9922	0.9922	0.9922	0.9922, 1.0022
5.0	0.9562	0.9562	0.9519	0.9519, 0.9523
6.0	0.948	0.948	0.9467	0.9467, 0.9502
7.0	0.942	0.942	0.9418	0.9418, 0.9448
8.0	0.938	0.938	0.9381	0.9387, 0.9426
9.0	0.936	0.937	0.9359	0.9371, 0.9420
10.0	0.934	0.936	0.9345	0.9362, 0.9423
12.0	0.932	0.937	0.9327	0.9354, 0.9341
14.0	0.931	0.939	0.9318	0.9368, 0.9467
16.0	0.931	0.942	0.9366	0.9366, 0.9474

表 1. 斜走柵動の $\%C_s$ ($V=0.3$)

図3 E_s/E_a 比較 ($\nu=0.0$)図4 E_s/E_a 比較 ($\nu=0.25$)図5 ρ_s/ρ の比較 ($\nu=0.0$)

計算結果を示す。ただし $C_s = \sqrt{M/\rho}$, $C_p = \sqrt{(3\mu+\lambda)/\rho}$, λ, M : 定数, $A_p = \pi r^2 l$: 断面積, $r = 2\pi r/l$, $b = l_2 = l_3$ 。

4. 考察

表1によつて、著者48分割、24分割、8分割と r_b が小さい場合(波長大さい), 大体 Fraser, Nigro, 中山(2次)の場合と一致。 $r_b = 0.5$ で著者8分割は Fraser, Nigro, 中山より 0.3% 大きいだけである。

$r_b \rightarrow \infty$ ($l \rightarrow \infty$) になると著者の結果は分割数によらず同じである。48分割では Fraser, Nigro の直角中間的结果となるが、8分割では、24分割では $r_b = 6$ あたりから、24分割の値より大きくなり、 $r_b = 14$ で Fraser より 1.6%, Nigro より 0.6% 大きくなっている。また著者8分割では上の24分割の場合、傾向はもとと題著者と r_b の値に対して多少 Fraser, Nigro より大きめで $r_b = 7$ あたりから r_b の値より 2% 以上大きくなっている。

図3～図6は既往の8分割合計64分割の正方形断面の r_b に対する各節度に図21に示したよろ在鉄筋補強筋の入っていない場合の継ぎ接頭の比速度 C_s/c_s を補強筋の弹性係数比 E_s/E , 密度比 ρ_s/ρ の変化による影響を示す。 $\nu = 0.0$ と 0.25 の場合について調べた結果である。全体として $\rho_s/\rho = 0.0$ と 0.25 は変化すると左肩上りのためか曲線となる。 C_s/c_s の値も 10～15% 程度大きくなる。また r_b の場合も $r_b = 1.0 \sim 3.0$ は急激に減少し、 $\rho_s/\rho = 3.0$, $E_s/E = 10.0$ のとき $r_b = 20.1$ を基準にして C_s/c_s の値は $r_b = 1.0$, 3.0 と変化すると 3%, 43% と減少する傾向となる。全体として E_s/E が大きくなるほど当然 C_s/c_s は大きくなるほど r_b の範囲では C_s/c_s は減少する。

参考文献

- 1) R.D. Mindlin, E.A. Fox: J. of Appl. Mech., p152, 1960. 3.
 - 2) W.B. Fraser: Int. J. Solids Structures, p379, Vol. 5, 1965.
 - 3) N.J. Nigro: The J. of the Acous. Soc. of Amer., No. 6, Vol. 40, 1966.
 - 4) 田中吉之助, 名倉義生: 日本機械学会論文集, 第364号, 1976. 12.
 - 5) 能町純雄, 角田与史雄, 本徳光: 土木学会論文報告集 第244号, p37, 1975. 12.
 - 6) 不公開, 能町純雄: 同上 第258号, p13, 1977. 2.
 - 7) 秋田宏: 同上 第260号, p33, 1977. 4.
 - 8) 能町純雄, 大島復之: 第26回応用力学連合講演会講演論文抄録集, C129, p415, 1976. 11.
 - 9) 能町純雄, 木田修一, 大島復之: 土木学会北海道支部論文報告集 第33号, p341, 1977. 2.
- 本論文の数値計算は北大大型計算機セイバーを利用して行なった。